

**(R)-(+)-3-Chlor-1-(4-morpholino-5-nitro-
1H-imidazol-1-yl)propan-2-ol**

**Andrzej Gzella,* Justyna
Žwawiak and Lucjusz Zaprutko**

Lehrstuhl für Organische Chemie der
K. Marcinkowski Universität der Medizinischen
Wissenschaften Poznań, ul. Grunwaldzka 6,
60-780 Poznań, Polen

Correspondence e-mail: akgzella@amp.edu.pl

Key indicators

Single-crystal X-ray study

$T = 293\text{ K}$

Mean $\sigma(\text{C}-\text{C}) = 0.003\text{ \AA}$

R factor = 0.027

wR factor = 0.076

Data-to-parameter ratio = 12.6

For details of how these key indicators were automatically derived from the article, see <http://journals.iucr.org/e>.

The absolute configuration of the optically active title compound, (+)-3-chloro-1-(4-morpholino-5-nitroimidazol-1-yl)propan-2-ol, $C_{10}H_{15}ClN_4O_4$, has been confirmed as *2R* by structure refinement using Friedel-pair reflections. The nitro group takes part in the conjugation system of the imidazole ring. In consequence, the exocyclic C–N bond is significantly shorter than the normal single Csp^2 –NO₂ bond. In the crystal structure, the molecules are linked by O–H···N and C–H···O intermolecular hydrogen bonds into an infinite three-dimensional network.

Eingegangen am 18. Oktober

2005

Angenommen am 4. November

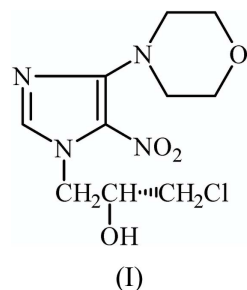
2005

Internet 10. November 2005

Azole, Teil XLIX. Teil XLVIII
Zaprutko *et al.* (2003).

Kommentar

Anknüpfend an eine vorangehende Publikation (Gzella *et al.*, 2000) wird in dieser Mitteilung über die Strukturanalyse des optisch aktiven (+)-3-Chlor-1-(4-morpholino-5-nitroimidazol-1-yl)propan-2-ol, (I), berichtet. Diese Verbindung, mit dem asymmetrischen C7-Kohlenstoffatom in der Seitenkette, liegt als *R*-Isomer vor (Abbildung 1). Die Torsionswinkel N1–C6–C7–O10 und O10–C7–C8–Cl9 betragen 60,51 (19) bzw. 62,29 (18)°.



Der Morphinrest ist mit dem Kohlenstoffatom C4 und die Nitrogruppe mit dem Kohlenstoffatom C5 des Imidazolringes verbunden. Der Interplanarwinkel zwischen der Morphin- und Imidazolebene beträgt 34,91 (9)°. Die Nitrogruppe weicht um 19,3 (2)° von der Imidazolringebene ab. Obwohl die Nitrogruppe nicht exakt in der Imidazolringebene liegt, beteiligt sie sich stark am konjugierten System des heterozyklischen Ringes. Davon zeugt die weitgehende Verkürzung der exozyklischen C5–N17 Bindung [1,391 (2) Å] im Vergleich zu der normalen Csp^2 –NO₂ Einfachbindungsänge [1,468 (1) Å; Allen *et al.*, 1987]. In dieser Bindungslängenverkürzung scheint der Grund zu liegen, daß sich die Nitrogruppe in (I) gegen einen weiteren Morphinrest nicht austauschen läßt, auch dann, wenn ein sechsfacher Überschuß des Amins eingesetzt wird und der Versuch unter Sieden verläuft (Gzella *et al.*, 2000).

In (I) beteiligt sich das Kohlenstoffatom C16 des Morphinrestes und das Sauerstoffatom O18 der Nitro-

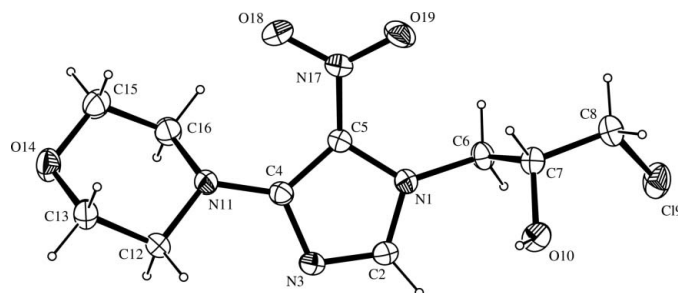


Abbildung 1

Molekülstruktur von (I) mit Nummerierung. (Wahrscheinlichkeitsniveau der Ellipsoide 30%).

gruppe an der Bildung der intramolekularen Wasserstoffbrückenbindung C16—H16B···O18. Das Kohlenstoffatom C16 nimmt zusätzlich an der intermolekularen Wasserstoffbrücke C16—H16B···O19^{iv} teil (Tabelle 1). In der Kristallstruktur verbinden die Wasserstoffbrückenbindungen O10—H10···N3ⁱ (Tabelle 1) die Moleküle in zickzackförmige Ketten, die sich in Richtung der *b* Achse entwickeln. Nicht konventionelle C—H···O Wasserstoffbrücken verbinden die einzelnen Ketten zu einem dreidimensionalen Netzwerk.

Experimentelles

Verbindung (I), Schmp. 423–428 K, $[\alpha]_D = 57,04^\circ$ ($c = 0,42$; CHCl₃), wurde nach der Methode von Zwawiak *et al.* (2000) hergestellt. Die Einkristalle wurden aus Methanol erhalten.

Kristalldaten

$C_{10}H_{15}ClN_4O_4$	$D_x = 1,532 \text{ Mg m}^{-3}$
$M_r = 290,71$	$\text{Cu-}\kappa\text{-Strahlung}$
Monoklin, $P2_1$	Gitterparameter aus 52 Reflexen
$a = 9,6835 (16) \text{ \AA}$	$\theta = 13,8\text{--}30,0^\circ$
$b = 5,2925 (13) \text{ \AA}$	$\mu = 2,87 \text{ mm}^{-1}$
$c = 12,823 (2) \text{ \AA}$	$T = 293 (2) \text{ K}$
$\beta = 106,470 (15)^\circ$	Nadel, gelb
$V = 630,2 (2) \text{ \AA}^3$	$0.58 \times 0.12 \times 0.05 \text{ mm}$
$Z = 2$	

Datensammlung

Kuma KM-4 Diffraktometer
 $\omega/2\theta$ Scans
 Absorptionskorrektur: ψ -Scan
 (North *et al.*, 1968)
 $T_{\min} = 0,657$, $T_{\max} = 0,866$
 2279 gemessene Reflexe
 2238 unabhängige Reflexe
 2148 Reflexe mit $I > 2\sigma(I)$

$D_x = 1,532 \text{ Mg m}^{-3}$
 Cu- $\text{K}\alpha$ -Strahlung
 Gitterparameter aus 52
 Reflexen
 $\theta = 13,8\text{--}30,0^\circ$
 $\mu = 2,87 \text{ mm}^{-1}$
 $T = 293 \text{ (2) K}$
 Nadel, gelb
 $0,58 \times 0,12 \times 0,05 \text{ mm}$

$R_{\text{int}} = 0,027$
 $\theta_{\text{max}} = 70,1^\circ$
 $h = -11 \rightarrow 11$
 $k = -6 \rightarrow 6$
 $l = 0 \rightarrow 15$
 2 Kontrollreflexe
 alle 100 Reflexen
 Intensitätsschwankung: 21%

Verfeinerung

Verfeinerung auf F^2
 $R[F^2 > 2\sigma(F^2)] = 0,027$
 $wR(F^2) = 0,076$
 $S = 1,03$
 2238 Reflexe
 177 Parameter
 H-Atome: s.u.
 Berechnete Gewichtungen
 $w = 1/\sigma^2(F^2) + (0,0512P)^2$
 $+ 0,0863P]$
 wobei $P = (F_a^2 + 2F_c^2)/3$

$(\Delta/\sigma)_{\text{max}} = 0,011$
 $\Delta\rho_{\text{max}} = 0,18 \text{ e \AA}^{-3}$
 $\Delta\rho_{\text{min}} = -0,27 \text{ e \AA}^{-3}$
 Extinktionskorrektur: *SHELXL97*
 (Sheldrick, 1997)
 Extinktionskoeffizient: 0,0165 (14)
 Absolute Konfiguration: Flack
 (1983), mit 914 Friedel-Reflex-
 paare
 Flack-Parameter = -0,006 (13)

Tabelle 1
Geometrie der Wasserstoffbrücken (\AA , $^\circ$).

$D - H \cdots A$	$D - H$	$H \cdots A$	$D \cdots A$	$D - H \cdots A$
O10—H10 \cdots N3 ⁱ	0.75 (3)	2.07 (3)	2.795 (2)	164 (3)
C6—H6B \cdots Cl9	0.97	2.76	3.1605 (19)	106
C6—H6A \cdots O19	0.97	2.36	2.825 (3)	109
C6—H6B \cdots O19 ⁱⁱ	0.97	2.56	3.226 (3)	126
C8—H8A \cdots O14 ⁱⁱⁱ	0.97	2.50	3.373 (2)	149
C16—H16B \cdots O18	0.97	2.27	2.918 (3)	124
C16—H16B \cdots O19 ^{iv}	0.97	2.55	3.293 (3)	134

Symmetribezeichnungen: (i) $1 - x, \frac{1}{2} + y, 1 - z$; (ii) $x, y - 1, z$; (iii) $x, y, z - 1$; (iv) $-x, y - \frac{1}{2}, 1 - z$.

Das H-Atom der Hydroxylgruppe wurde frei verfeinert [$\text{O}-\text{H}$, 0,75 (3) Å]. Alle übrigen H-Atome wurden mit Hilfe des Reiter-Keller-Abbildungsfaktors C ($\text{C}_1-\text{H}_1 = 0,92$, $\text{C}_2-\text{H}_2 = 0,98$, $\text{C}_3-\text{H}_3 = 0,99$) bestimmt.

Datensammlung: *KM-4 Software* (Kuma, 1996); Zellverfeinerung: *KM-4 Software*; Datenreduktion: *KM-4 Software*; Lösung der Strukturen: *SHELXS97* (Sheldrick, 1997); Verfeinerung der Strukturen: *SHELXL97* (Sheldrick, 1997); Molekülgrafik: *ORTEP-3 for Windows* (Farrugia, 1997); Programm für die Herstellung von Veröffentlichungsmaterialien: *WinGX* (Farrugia, 1999).

Literatur

- Allen, F. H., Kennard, O., Watson, D. G., Brammer, L., Orpen, A. G. & Taylor, R. (1987). *J. Chem. Soc. Perkin Trans. 2*, pp. S1–19.

Farrugia, L. J. (1997). *J. Appl. Cryst.* **30**, 565.

Farrugia, L. J. (1999). *J. Appl. Cryst.* **32**, 837–838.

Flack, H. D. (1983). *Acta Cryst.* **A39**, 876–881.

Gzella, A., Wrzeciono, U. & Pöppel, W. (2000). *Acta Cryst.* **C56**, 1161–1163.

Kuma (1996). *Kuma KM-4 User's Guide*. Version 8.0.1. Kuma Diffraction, Wrocław, Polen.

North, A. C. T., Phillips, D. C. & Mathews, F. S. (1968). *Acta Cryst.* **A24**, 351–359.

Sheldrick, G. M. (1997). *SHELXS97* and *SHELXL97*. Universität Göttingen, Deutschland.

Zaprutko, L., Olender, D. & Gzella, A. (2003). *Monatsh. Chem.* **134**, 1145–1150.

Żwawiak, J., Gzella, A. & Wrzeciono, U. (2000). *The XLIII Meeting of the Polish Chemical Society*, Łódź, September 10–15, Abstracts, pp. 176.